



Metström

Measurement of turbulent exchange processes downstream a single tree trunk

Dr.-Ing. Veit Hildebrand, Dipl.-Ing. Thomas Eipper, Johannes Ende

Dresden, 08.09.2010

Outline

- 1 Wind tunnel experiment during the first phase of Metström
 - Preparation of the wind tunnel model
 - First simulation of “Wildacker”

Outline

- 1 Wind tunnel experiment during the first phase of Metström
 - Preparation of the wind tunnel model
 - First simulation of “Wildacker”
- 2 Second phase
 - Measurement behind a single trunk
 - Measurement behind a single tree
 - Reference experiment
 - Measurement of dispersion processes

Outline

- 1 Wind tunnel experiment during the first phase of Metström
 - Preparation of the wind tunnel model
 - First simulation of “Wildacker”
- 2 Second phase
 - Measurement behind a single trunk
 - Measurement behind a single tree
 - Reference experiment
 - Measurement of dispersion processes
- 3 Laserscans
 - Terrestrial laser scanning
 - Laser scanning of single structures

Preparation of the wind tunnel model

- Measurements take place in the boundary layer wind tunnel of the TU Dresden
- Dimensions of the test section: 1.2m high, 1.4m wide and 8m long

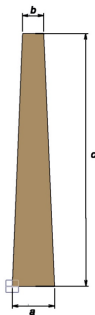


Test section of boundary layer wind tunnel

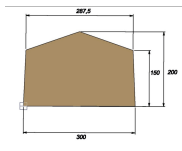
Preparation of the wind tunnel model

Adjustment of the boundary layer

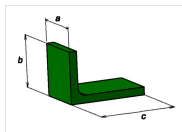
- Initialized by counihan-generators with bases and roughness elements



Counihan-Generator



Base of a Counihan-Generator



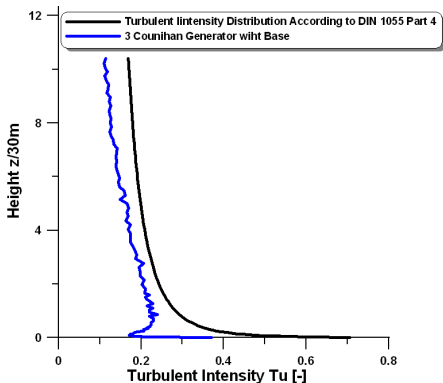
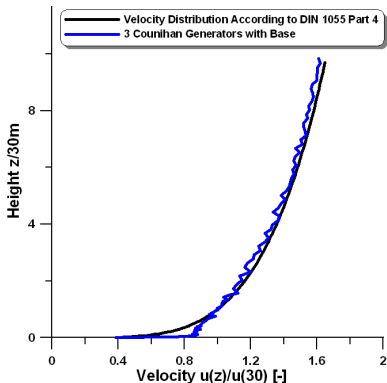
Roughness element



Total set-up

Preparation of the wind tunnel model

Adjustment of the boundary layer



Preparation of the wind tunnel model

Boundary conditions

- Determination of the spatial correlation
- Coefficient of correlation:

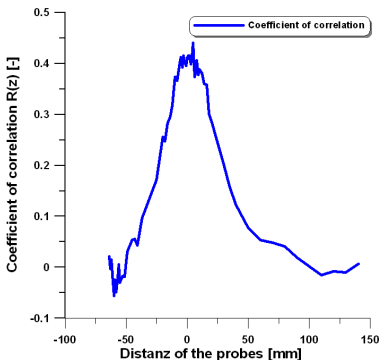
$$R_K(z) = \frac{\overline{u'_1 u'_2}}{\sqrt{u_1'^2 \cdot u_2'^2}}$$

$$R_K(z) = \frac{\sum_i (u_{1i} - \bar{u}_1) \cdot (u_{2i} - \bar{u}_2)}{\sqrt{\sum_i (u_{1i} - \bar{u}_1)^2 \cdot \sum_i (u_{2i} - \bar{u}_2)^2}}$$

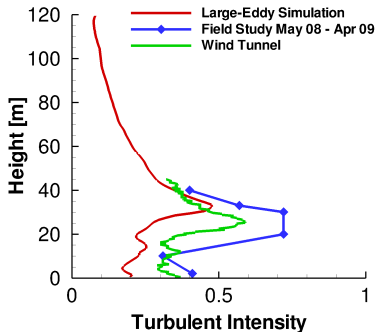
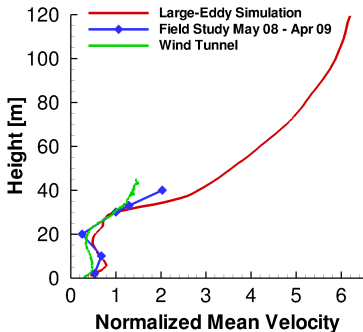
Preparation of the wind tunnel model

Boundary conditions

- Measurement with two Hot-Wire-Probes along the z-axis
- Reference height: 65mm



First simulation of “Wildacker” Profiles for “Main Tower”

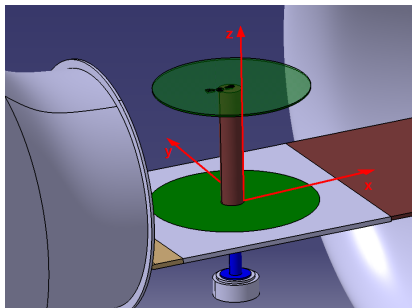




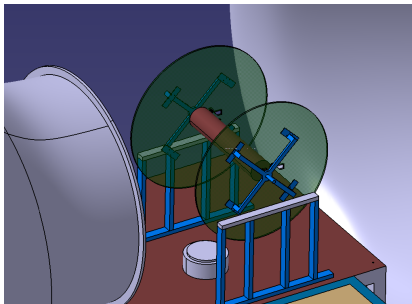
Second phase

Measurement behind a single trunk

- Single trunks of a spruce, chestnut etc.
- 1550mm long, approx. 300mm wide
- Measurements of mean velocity and turbulent intensity around the trunk



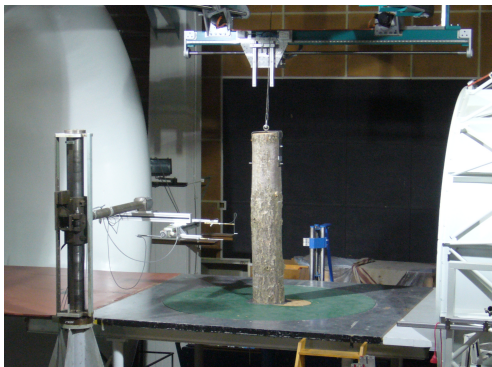
Trunk in horizontal assembling



Trunk in vertical assembling

Measurement behind a single trunk

- Measurements take place in the low speed wind tunnel of the TU Dresden



Test preparation

Measurement behind a single trunk

Test procedure

- Two trunks with different roughness



Trunk 1 (spruce)



Trunk 2 (pine)



Measurement behind a single trunk

Test procedure

- Measuring methods: Hot-Wire-Anemometry (HWA) and Particle-Image-Velocimetry (PIV)
- Modification of angle of attack ($-90^\circ - 90^\circ$) and tilt angle ($0^\circ - 40^\circ$)
- Flow rates of 3 m/s, 5 m/s and 10 m/s
- Measuring height $z=650\text{mm}$



Measurement behind a single trunk

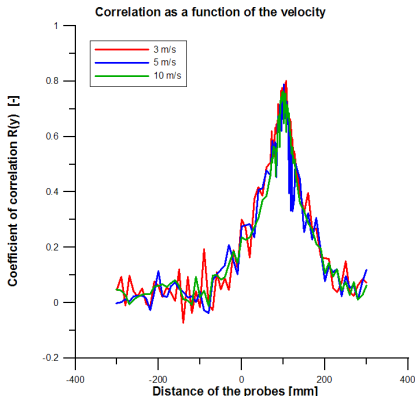
Measuring methods

- HWA: + High spatial and temporal resolution
 - Fluid flow is affected by the probes
 - Long testing time
- PIV: + Non-contact method
 - + 2D flow field
 - Needs high memory capacity and processing power

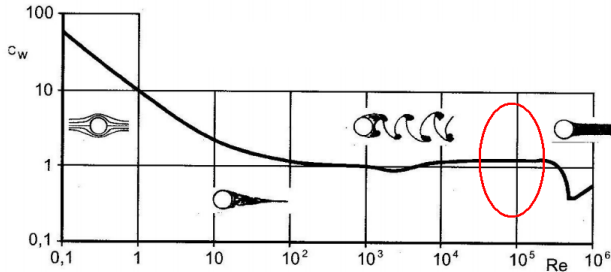
Measurement behind a single trunk

Effect of the flow rate

- Measuring with two HWA-probes along the y -axis
- Reference position: $y=100\text{mm}$



Measurement behind a single trunk Flow around a smooth circular cylinder

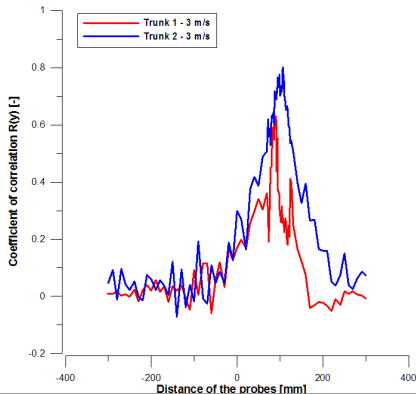


Influence of the Reynolds number

Measurement behind a single trunk

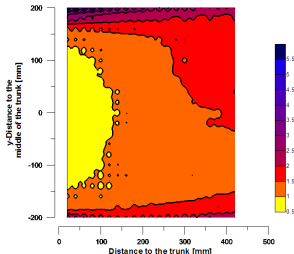
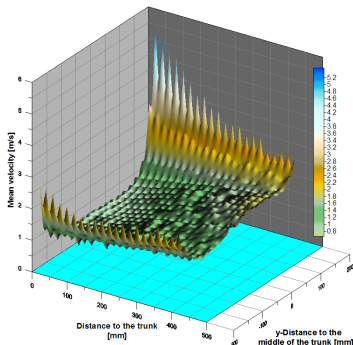
Effect of the surface roughness

- Measuring with two HWA-probes along the y-axis
- Reference Position: $y=100\text{mm}$

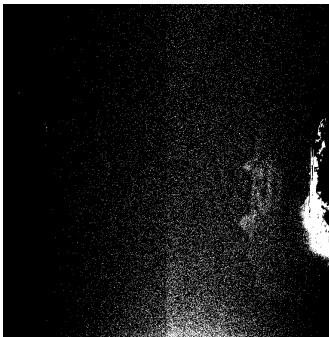


Measurement behind a single trunk Flow field

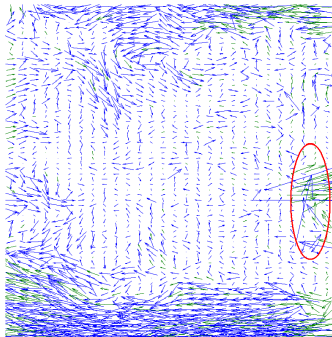
- Measuring with one HWA-probe
- Area of 400mm times 400mm
- Mean velocity



Measurement behind a single trunk PIV data analysis

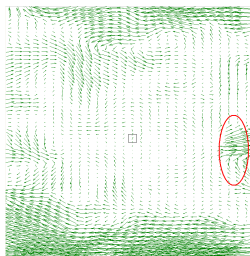


Scattered light of the particle

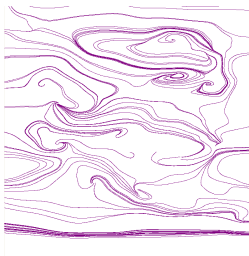


Raw data vector field

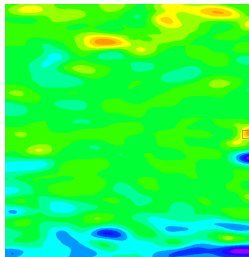
Measurement behind a single trunk PIV data analysis



Smoothing method



Streamlines



Vorticity

Measurement behind a single trunk

Structure of the data base

Projekt: Metström, Großer Beleg - Johannes Ende	
Instationäre Strömungsmessung bei der Anströmung zweier Baumstämme mittels HDA	
Verfahren:	
HDA:	Messung der Geschwindigkeitskomponente u in x -Richtung als Korrelationsmessung
Beschreibung der Messung:	
Korrelationsmessung bei konst. Abstand $x=200\text{mm}$ und Flächenmessung ($400\text{mm} \times 400\text{mm}$)	
- für verschiedene Anströmgeschwindigkeiten (3 m/s, 5m/s, 10m/s)	
- für verschiedene Anström- und Kippwinkel	
- für verschiedene Korrelationskonfigurationen (0mm, 100mm, 200mm)	
Höhe der Messung am Stamm bei $z=650\text{mm}$	
Aufnahme von Zeitreihen über Dauer von 30 s bei Abtastfrequenz von 1250 Hz	
Baum 1: Fichte mittel-rauhe Oberfläche (Durchmesser ca. 35cm)	
Baum 2: Kiefer rauhe Oberfläche (Durchmesser ca. 33cm)	
Allgemein:	
Ort:	NWK TU-Dresden
Versuchsaufbau:	Lagebeschreibung

Korrelationsmessung entlang $x=200\text{mm}$						
Baum 1						
Winkel $\beta=0^\circ$	Konfiguration 0mm		Konfiguration 100mm		Konfiguration 200mm	
	$u=3\text{m/s}$	$u=5\text{m/s}$	$u=3\text{m/s}$	$u=5\text{m/s}$	$u=3\text{m/s}$	$u=5\text{m/s}$
	Baum1_3ms_0°	Baum1_5ms_0°	Baum1_3ms_0°	Baum2_5ms_0°	Baum1_3ms_0°	Baum1_5ms_0°

Mean document

Measurement behind a single trunk

Structure of the data base

Projekt: Metström, Großer Beleg - Johannes Ende	
Instationäre Strömungsmessung bei der Anströmung zweier Baumstämme mittels HDA	
Verfahren:	
HDA:	Messung der Geschwindigkeitskomponente u in x -Richtung als Korrelationsmessung
Beschreibung der Messung:	
Korrelationsmessung bei konst. Abstand $x=200\text{mm}$ und Flächenmessung ($400\text{mm} \times 400\text{mm}$)	
<ul style="list-style-type: none"> - für verschiedene Anströmgeschwindigkeiten (3 m/s, 5m/s, 10m/s) - für verschiedene Anström- und Kippwinkel - für verschiedene Korrelationskonfigurationen (0mm, 100mm, 200mm) 	
Höhe der Messung am Stamm bei $z=650\text{mm}$	
Aufnahme von Zeitreihen über Dauer von 30 s bei Abtastfrequenz von 1250 Hz	
Baum 1: Fichte mittel-rauhe Oberfläche (Durchmesser ca. 35cm)	
Baum 2: Kiefer rauhe Oberfläche (Durchmesser ca. 33cm)	
Allgemein:	
Ort:	NWK TU-Dresden
Versuchsaufbau:	Lagebeschreibung

Korrelationsmessung entlang $x=200\text{mm}$						
Baum 1						
	Konfiguration 0mm		Konfiguration 100mm		Konfiguration 200mm	
	$u=3\text{m/s}$	$u=5\text{m/s}$	$u=3\text{m/s}$	$u=5\text{m/s}$	$u=3\text{m/s}$	$u=5\text{m/s}$
Winkel $\beta=0^\circ$	Baum1_3ms_0°	Baum1_5ms_0°	Baum1_3ms_0°	Baum2_5ms_0°	Baum1_3ms_0°	Baum1_5ms_0°

[Link to a single sheet](#)

Measurement behind a single trunk

Structure of the data base

Projekt: Metström, Großer Beleg - Johannes Ende						
Instationäre Strömungsmessung bei der Anströmung des Baumstammes 1						
Verfahren:						
HDA:	Messung der Geschwindigkeitskomponente u in x-Richtung als Korrelationsmessung					
Allgemein:						
Ort:	NWK TU-Dresden					
Datum:	14.07.2010					
Durchführender:	Johannes Ende					
Parameter:						
Nennanströmgeschwindigkeit:	$\bar{u}=3$ m/s					
Kippwinkel des Stammes:	$\beta=0^\circ$					
Anströmwinkel:	$\alpha=0^\circ$					
Konfiguration:	"0mm"					
Tagesdaten:						
Temperatur:	26,5 °C					
bar. Druck:	1009,3 hPa					
Kalibrier-Daten:						
Druckkalibrierung:	Druck-Kal 60Pa 20100714					
Kalibrierung Sonde1:	Sonden-1 20100714					
Kalibrierung Sonde2:	Sonden-2 20100714					
Messdaten:						
Datei mit Mittelwerten:	Korr_3ms_0mm_0Grad_0mm					
Datei mit Auswertung:	Korrelation_3ms_0mm					
Position der beweglichen Sonde 1			Mittelwerte über 30s			
x-Koordinate	y-Koordinate	Anströmgeschwindigkeit	Reynoldszahl	bewegliche Sonde1	feststehende Sonde2	Dateien mit Zeitreihen
[mm]	[mm]	[m/s]	Re	[m/s]	[m/s]	
200	300	3,18	69960	3,79	0,37	Korr_3ms_0mm_v=300mm
200	290	3,18	69960	3,67	0,42	Korr_3ms_0mm_v=290mm

Single sheet

Measurement behind a single trunk

Structure of the data base

Projekt: Metström, Großer Beleg - Johannes Ende						
Instationäre Strömungsmessung bei der Anströmung des Baumstammes 1						
Verfahren:						
HDA:	Messung der Geschwindigkeitskomponente u in x-Richtung als Korrelationsmessung					
Allgemein:						
Ort:	NWK TU-Dresden					
Datum:	14.07.2010					
Durchführender:	Johannes Ende					
Parameter:						
Nennanströmgeschwindigkeit:	$\bar{u}=3$ m/s					
Kippwinkel des Stammes:	$\beta=0^\circ$					
Anströmwinkel:	$\alpha=0^\circ$					
Konfiguration:	"0mm"					
Tagesdaten:						
Temperatur:	26,5 °C					
bar. Druck:	1009,3 hPa					
Kalibrier-Daten:						
Druckkalibrierung:	Druck-Kal 60Pa 20100714					
Kalibrierung Sonde1:	Sonden-1 20100714					
Kalibrierung Sonde2:	Sonden-2 20100714					
Messdaten:						
Datei mit Mittelwerten:	Korr_3ms_0mm_DGrad_DGrad_0mm					
Datei mit Auswertung:	Korrelation_3ms_0mm					
Position der beweglichen Sonde 1			Mittelwerte über 30s			
x-Koordinate	y-Koordinate	Anströmgeschwindigkeit	Reynoldszahl Re	bewegliche Sonde1	feststehende Sonde2	Dateien mit Zeitreihen
[mm]	[mm]	[m/s]	[-]	[m/s]	[m/s]	
200	300	3,18	69960	3,79	0,37	Korr_3ms_0mm_v=300mm
200	290	3,18	69960	3,67	0,42	Korr_3ms_0mm_v=290mm

[Link to a data sheet](#)

Measurement behind a single trunk

Structure of the data base

Projekt: Metström, Großer Beleg - Johannes Ende
 instationäre Strömungsmessung bei der Anströmung des Baumstammes 1

Verfahren:
 HDA: Messung der Geschwindigkeitskomponente u in x-Richtung als Korrelationsmessung

Allgemein:
 Ort: NWK TU-Dresden
 Datum: 14.07.2010
 Durchführender: Johannes Ende

Parameter:
 Nennanströmgeschwindigkeit:
 Kippwinkel des Stammes:
 Anströmwinkel:
 Konfiguration:
Tagessdaten:
 Temperatur:
 bar. Druck:
Kalibrier-Daten:
 Druckkalibrierung:
 Kalibrierung Sonde1:
 Kalibrierung Sonde2:
Messdaten:
 Datei mit Mittelwerten:
 Datei mit Auswertung:

Position der beweglichen Sonde:
 x-Koordinate y-Koordinate

Tagessdaten	Messdaten
4.0068	4.1928
4.0598	4.1104
4.1529	4.0180
4.0207	4.1586
4.1387	4.1500
4.2128	3.9930
4.0626	4.1104
4.1699	3.9433
4.1217	
4.0096	
4.1928	
4.1104	
4.0180	
4.1586	
4.1500	
3.9930	
4.1104	
3.9433	

Korr_3ms_0Grad_0mm_...

Daten	Bearbeiten	Format	Ansicht	?
4.0068		0.3594		
4.0598		0.3637		
4.1529		0.3674		
4.0207		0.3693		
4.1387		0.3724		
4.2128		0.3731		
4.0626		0.3743		
4.1699		0.3762		
4.1217		0.3794		
4.0096		0.3794		
4.1928		0.3731		
4.1104		0.3762		
4.0180		0.3813		
4.1586		0.3813		
4.1500		0.3787		
3.9930		0.3787		
4.1104		0.3794		
3.9433		0.3806		

Position der beweglichen Sonde:

x-Koordinate [mm]	y-Koordinate [mm]
200	300
200	290

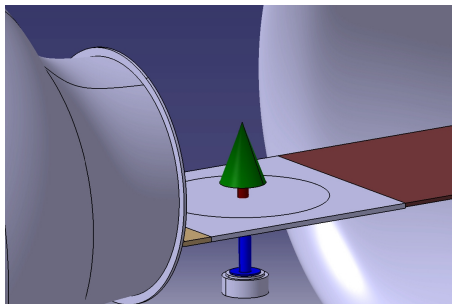
Files with time series:

- Korr_3ms_0mm_v=300mm
- Korr_3ms_0mm_v=200mm

Data sheet

Measurement behind a single tree

- Single tree at a scale of approx. 1:25
- Reinforced with liquid class (for example)
- Measurements of mean velocity and turbulent intensity around the trunk



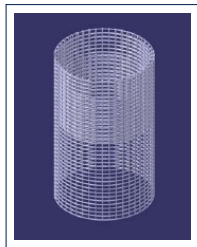
Schematic assembling in the wind tunnel



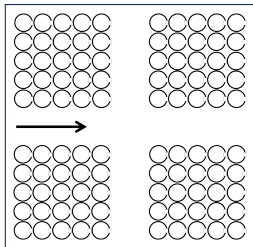
Possible tree

Reference experiment

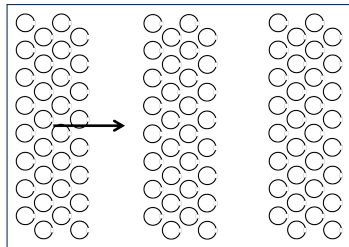
- Arrangements of model trees made of metallic mesh
- Metallic mesh: steel wires with 0.5mm diameter and mesh size of 3mm
- Measurements in, around and behind the arrangements



Model of metallic mesh



Possible arrangement



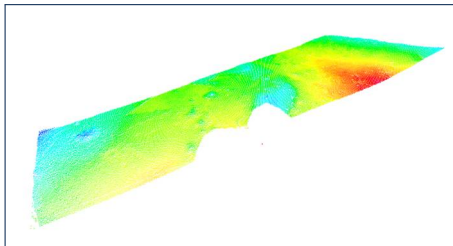
Possible arrangement

Measurement of dispersion processes

- Improvement of the experimental set-up
- Use of digital models of the topography and the canopy
- Implementation of contactless measurement technics



Model of the "Wildacker" in the wind tunnel



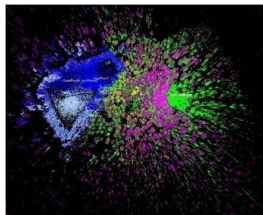
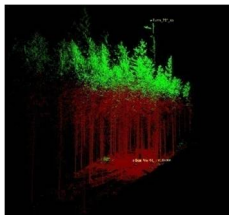
Digital model of the topography



Laserscans

Terrestrial laser scanning

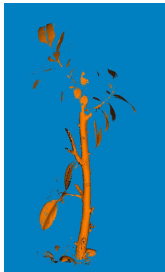
- Laser scan of the “Wildacker” from ground and the top of a tower
- Determination of point clouds
- Determination of leaf area index



Point clouds resulting from terrestrial laser scans

Laser scanning of single structures

- High resolution scans of smaller plants
- Structure of surface areas can be determined
- CAD-models can be produced out of the measurements



Indoor plant: picture (left), laser scan (middle) and the details (right)

Thank you for your attention.